

正压大气中的波流相互作用及 Sine-Gordon 方程

陶建军

(湘潭师院地理系, 湘潭, 411201)

摘 要

从正压涡度方程出发, 利用截谱方法, 讨论波动与基本流之间的相互作用, 得到了波流之间能量转换的条件。在引入时空缓变量后, 导出 Sine-Gordon 方程, 并求得了孤立子解。

关键词: 波流作用, Sine-Gordon 方程, 偶极孤立子。

1 引 言

大气中的许多现象, 都和波动与基本流之间的相互作用有关。因此, 对于它的研究, 已经成为天气动力学的一个重要课题。Andrews^[1]和 Edmon^[2]利用 EP 通量概念, 讨论了涡动的热量通量和动量通量对纬向平均流的作用。曾庆存^[3]利用波包理论研究大气中的波流相互作用, 得到了有意义的结果。李麦村等^[4]利用截谱方法, 讨论了特定涡源下, 扰动和基本流场相互作用所产生的平衡态及其突变问题, 能较好地解释6月和10月东亚环流的迅速演变现象。

文中利用截谱方法, 得到了一个反映波流相互作用的简单的非线性系统。通过对它的讨论, 导出了波流间能量传输的条件, 并且得到了多个守恒量。特别是在引入时空缓变坐标后, 求得 Sine-Gordon 方程及其孤立子解, 这从理论上进一步证明瞬变波的强迫对阻塞形势的维持和加强^[5,6]具有重要的作用。

2 基本模式

准地转无量纲正压涡度方程为:

$$-\frac{\partial^2 \psi}{\partial t^2} + J(\psi, \psi) + \frac{\partial \psi}{\partial x} = 0 \quad (1)$$

式中 ψ 为无量纲流函数, $\frac{\partial}{\partial x} = \frac{L_0}{a} \text{ctg } \theta_0 \frac{\partial}{\partial x_0}$, $\theta_0 = 45^\circ$ 。

为了反映瞬变波与基本气流之间的相互作用, 取截谱展开式为:

$$\psi = -\bar{u}y - A \sin 2ly + B e^{ikx} + e^{ikx} \cos 2ly + (\psi^* \psi) \quad (2)$$

其中 $(\psi^* \psi)$ 表示前4项的共轭, $l = \frac{2}{L_y} L_0$, $k = \frac{2}{L_x} L_0$, L_y 为南北方向的范围, 与之对应, y 的

范围从0到 $\frac{L_x}{L_0}$ 。 L_x 为 x 方向的波长。

式(2)右边第1项表示基本流。第2项是对第1项的补充,这两项的合成效果是: $A < 0$ 表示中纬有急流; $A > 0$ 表示急流分成为南北两支。如果这种基本场在局部区域发生,就表示急流在某地区出现分支。这时的气压场中高纬是高压,中低纬是低压,与大气中的偶极子阻塞相似。式(2)右边第3项表示移动性波,假定具有波源(如下游移入等)。式(2)右边第4项是由第2项和第3项由于非线性相互作用而产生的分量,它与第3项合成后能反映扰动的分布情况及槽线的形状(请参看第3节)。

在这一节,假定 i ($i = A, B, C$) 仅仅是时间 t 的函数,将式(2)代入式(1)后得截谱方程:

$$\frac{A}{t} = -2lki(B^*C - C^*B) \quad (3)$$

$$\frac{B}{t} = -lkiAC + ikiB \quad (4)$$

$$\frac{C}{t} = -2lkiAB + ikiC \quad (5)$$

其中 $l = \sqrt{k^2 - \bar{u}}$; $2 = \sqrt{k^2 + 4l^2} - \bar{u}$; $b = \frac{k^2 - 4l^2}{k^2 + 4l^2}$

$$\text{再令} \quad \equiv i(B^*C - C^*B) = -2B^*C \sin \quad (6)$$

$$\equiv B^*C + C^*B = 2B^*C \cos \quad (7)$$

$$E \equiv 2B^2 - \frac{1}{b}C^2 \quad (8)$$

其中 $= B - C$ 。则由式(3)一(5)可得:

$$\frac{A}{t} = -2lk \quad (9)$$

$$\frac{E}{t} = 4lkA \quad (10)$$

$$\frac{\sim}{t} = -\sim k - 2lkbAE \quad (11)$$

$$\frac{\sim}{t} = \sim k \quad (12)$$

以及
$$\frac{B^2}{t} = -\frac{1}{4} \frac{A^2}{t} = -\frac{1}{2b} \frac{C^2}{t} \quad (13)$$

其中 $\sim = 1 - 2$ 。

以上是要讨论的方程组,是一非线性系统。由它可得如下几个守恒量:

$$m_0 \equiv B^2 + \frac{1}{4}A^2 = \text{常量} \quad (14)$$

$$m_1 \equiv \frac{\sim}{2l}A = \text{常量} \quad (15)$$

$$m_2 \equiv \sim^2 + \sim^2 + \frac{1}{2}bE^2 = \text{常量} \quad (16)$$

$$m_3 \equiv B^2 + C^2/2b = \text{常量} \quad (17)$$

m_0, m_1, m_2, m_3 可由初值决定,其中 m_0 对应于波流间的能量守恒。

3 波流间的能量转换

3.1 基本流向波动的能量转换

设初始时刻 $A = A_0 \neq 0$, 但 B 和 C 很小, 则将式(9)一(12)线性化后得:

$$\frac{d^3 E}{dt^3} + (8l^2 b \lambda_{A0} + \tilde{\omega}^2) k^2 \frac{dE}{dt} = 0 \quad (18)$$

设 $E = E e^{\tilde{\omega} t}$, 代入上式, 得:

$$\tilde{\omega}^3 + (8l^2 b \lambda_{A0} + \tilde{\omega}^2) k^2 \tilde{\omega} = 0$$

解得: $\tilde{\omega}_1 = 0; \tilde{\omega}_{1,2} = \pm \sqrt{-(8l^2 b \lambda_{A0} + \tilde{\omega}^2) k^2}$ (19)

显然, 若 $b > 0$, 即 $k^2 > 4l^2$ 时, $\tilde{\omega}$ 恒为虚数, 系统总是稳定的, 即对于波长较短的波, 不会从平均流吸取能量增长。从此模式看, 正压不稳定同样具有短波截止现象。

当 $b < 0$, 即 $k^2 < 4l^2$, 且 $8l^2 b \lambda_{A0} > \tilde{\omega}^2$ 时, 才会出现不稳定, 这时 A_0 存在临界值:

$$\lambda_{A0} \equiv \frac{2l^2 \tilde{\omega}^2}{(4l^2 - k^2)(4l^2 + k^2)k^2} \quad (20)$$

当 $\lambda_{A0} > \lambda_{AC}^*$ 时, 扰动从平均流吸取能量增长, 这是本模式得到的正压不稳定的判据。这里, $*$ 起稳定作用。分析式(20)可知, λ_{AC}^* 存在极小值。将式(20)对 k 求导, 并令 $-\frac{\lambda_{AC}^*}{k} = 0$, 得:

$$4l^2 - \sqrt{3} k^2 = 0 \quad (20)'$$

当 $k^2 = \frac{4}{3} l^2$ 时, λ_{AC} 取极小值。

下面, 给出平均流场向扰动场提供能量时, 槽线的分布形状。

将展开式(2)中最后两分量写成:

$$B \cos B + C \cos C \cos 2ly = B \cos B + C \cos(B - C) \cos 2ly$$

其中 $B = kx + \dots$, 为位相角, $C = B - \dots$, 利用三角函数公式, 可得: $B \cos B + C \cos(B - C) \cos 2ly = \sqrt{A^2 + B^2} \cos(B - \tilde{\omega})$, 这里 $A = B + C \cos \cos 2ly$; $B = C \sin \cos 2ly$; $\tilde{\omega} = \arctg \frac{B}{A}$, 再利用式(6)(7)两式, $\tilde{\omega}$ 可写成:

$$\tilde{\omega} = \arctg \frac{-\cos 2ly}{2 \frac{B}{B^2 + \cos 2ly}} \quad (21)$$

在槽线上, $kx - \tilde{\omega} = \dots$, 由此可以确定槽线的形状。

若取 $k = \frac{2}{L_x} L_0 = 1$, 相当于 x 方向的波长为 $6.28 \times 10^6 \text{m}$ 。取 $l = \frac{1}{L_y} L_0 = 0.63$, 对应于南北方向的范围 L_y 为 $5 \times 10^6 \text{m}$ 。在 $\theta = 45^\circ$ 处, $*$ 取 0.1; 由此计算得 $\tilde{\omega} = 0.048, b = -0.22$; 再由式(20), 可求得临界值 $\lambda_{AC} = 0.05$, 作为一个实例, 假设 $t = 0$ 时刻, $\bar{u} = 0.17, A_0 = -0.15$, 这相当于中纬有较强西风气流。因为由式(2)对 y 求导, 再进行纬向平均, 可得:

$$-\frac{\partial}{\partial y} = \bar{u} + 2l A_0 \cos 2ly$$

若 \bar{u}, l, A_0 均为以上取值时, 上式对应着中纬有量纲最大速度是 40m/s 左右。如图 1a。

对于上面所取的 A_0 , 因为有 $A_0 > A_C$, 所以基本流不稳定, 将有能量向扰动传输。由上面所取参数和初值, 再设 $t = 0$ 时, $B = 0.02$, $c = 0$ (即大气中有很弱的扰动), 由式 (6) — (8) 知, 这时, $\psi = 0, E = 8 \times 10^{-4}$ 。在这初始条件下, 采用 Runge-Kutta 法, 对式 (9) — (12) 进行数值计算, 步长 h 取 0.18 (即 30min), 计算结果如图 1。

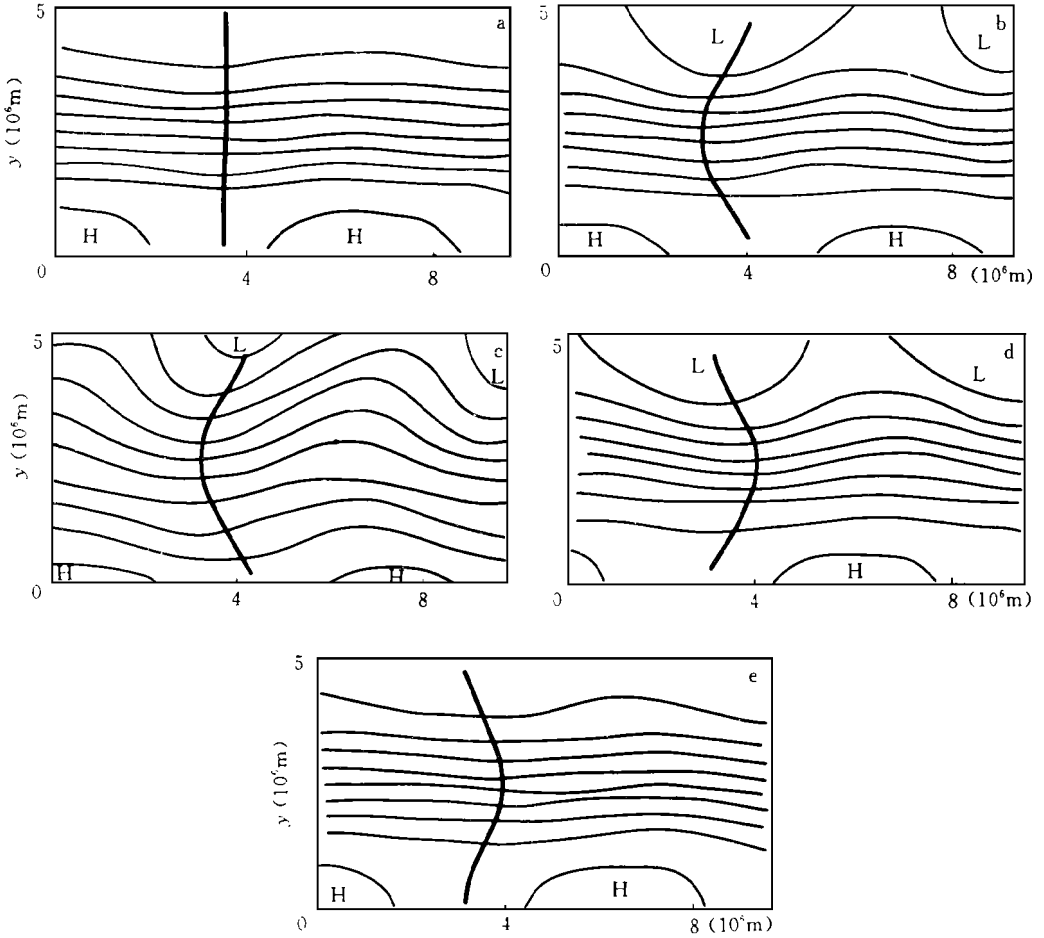


图1 基流不稳定时的流场演变
(a. 初始场; b. 第3天; c. 第5天; d. 第10天; e. 第12天)

图中细实线为流线, 粗实线为由式 (21) 计算得到的槽线的形状。由图 1a 可见, 初始时刻槽线为南北向的直线, 到了第 3 天, 图 1b 槽线发生了形变, 急流北面, 槽线转为东北-西南向, 急流南面, 槽线转为西北-东南向, 众所周知, 这种槽线的分布形式对应着发展型扰动, 结果到了第 5 天, 扰动加强 (图 1c)。

图 1d 是第 10 天的流场分布, 这时, 槽线发生了变化, 急流北面转为西北-东南向, 南面为东北-西南向, 这种分布就意味着扰动将要减弱, 结果到了第 12 天, 气流变得较为平直, 如图 1e。

3.2 扰动向基本纬向流输送能量

当初始时刻 $B = B_0 \neq 0$ 时,即大气中有波动存在,但 $A \ll B, C \ll B_0$ 。(这时由式(6)–(8)知, $\tilde{=} = 0$) 将式(9)–(13)线性化后得:

$$\frac{d^3 A}{dt^3} - (4l^2 b E_0 - \tilde{~}) k^2 \frac{dA}{dt} = 0 \quad \text{这里 } E_0 = 2 B_0^2$$

令 $A = A e^{\tilde{~} t}$, 代入上式有

$$\tilde{~} = \pm \sqrt{(4l^2 b E_0 - \tilde{~})}$$

显然,要使 $\tilde{~}$ 出现正实根, b 必须大于零,即必须满足 $k^2 > 4l^2$ 的条件,可见只有波长较短的波才可能向平均流场传送能量,这时 B_0^2 也存在临界值:

$$B_0^2 = \frac{2l^{*2}}{(k^4 - 16l^4)k^2} \quad (22)$$

当 $B_0 > B_{BC}$ 时,出现不稳定,扰动向平均流场提供能量。

另外,由式(22)可以看出,波长越短的波,越容易被基本流所吸收。

根据以上分析,现讨论西风带分支气流加强时,流场的演变及槽线的变化情况。取参数 $k = \frac{2}{L_x} L_0 = 1.56$ (对应 x 方向波长为 $4 \times 10^6 \text{m}$); $l = \frac{2}{L_0} L_0 = 0.63$ (南北范围为 $5 \times 10^6 \text{m}$); $\tilde{~} = 0.1$, 计算得 $\tilde{~} = 0.016$; $b = 0.212$ 。由式(22) 计算出 B 的临界值 $B_{BC} = 0.022$ 。取初值 $B_0 = 0.1, A_0 = 0.02$, 分别对应大气中有较强的天气尺度波动和弱的分支基本气流。如图 2a, 这里 \bar{u} 取 0.1。

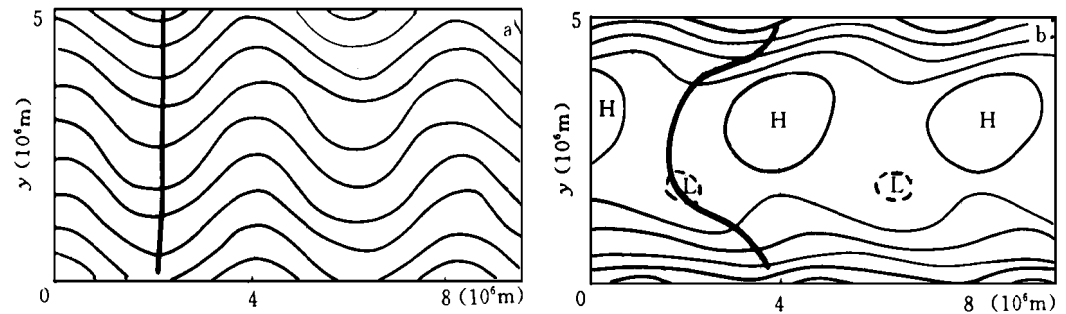


图2 分支流加强时的流场演变
(a. 初始场; b. 第3天流场)

在上述参数和初值条件下,对式(9)–(12)进行数值计算(方法同前)。结果如图2,图中粗实线为槽线,由式(21)确定。图2a是初始状况,流场上波状结构明显,槽线呈南北向。图2b是第3天的结果,这时中高纬为曳式扰动,中低纬为导式扰动,这种结构,有利于扰动向高纬和向低纬输送能量,结果如图2b中所见,出现了南北两支西风气流。而且还可以看出:中高纬反气旋涡度增强,中低纬气旋性涡度增强,这一特性,非常有利于偶极子阻塞形势的维持和加强^[5]。下一节将看到:当考虑 x 方向的空间缓变量和时间缓变量后,这种波流间的相互作用,可以产生偶极孤立子。

4 Sine-Gordon 方程与孤立子解

对于方程 (1), 取展开式:

$$= - \bar{u}y - A(t, x) \sin 2ly + B(t, x) e^{ik(x-\alpha)} + c(t, x) e^{ik(x-\alpha)} \cos 2ly + (* *) \tag{24}$$

上式与式(2)不同的是 $i(i = A, B, C)$ 是 t, x 的缓变量; C 为波速。将式(24) 代入式(1), 考虑到扰动振幅 i 为小量及振幅为空间的缓变量, 因而忽略 $\frac{\partial^2 i}{x^2}, \frac{\partial i}{x}$; 等小项^[7] 可得:

$$\frac{\partial A}{\partial t} + C_{g0} \frac{\partial A}{\partial x} = - 2lki (B^* c - B^* c) \tag{25}$$

$$\frac{\partial B}{\partial t} + C_{g1} \frac{\partial B}{\partial x} = i ki B - lki A c \tag{26}$$

$$\frac{\partial C}{\partial t} + C_{g2} \frac{\partial C}{\partial x} = i ki c - 2l b ki A B \tag{27}$$

其中 $C_{g0} = \bar{u} - \frac{k^2}{4l^2}$; $C_{g1} = \bar{u} + \frac{k^2}{k^2}$; $C_{g2} = \bar{u} + \frac{(k^2 - 4l^2)}{(k^2 + 4l^2)^2}$; $i = \frac{k^2}{k^2} - (\bar{u} - C)$; $i = \frac{k^2}{k^2 + 4l^2} - (\bar{u} - C)$ 。显然有: $C_{g1} > C_{g2} > C_{g0}$ 。

为了求出以常速度传播的解(对于准静止阻塞形势, ≈ 0), 假定 $i(i = A, B, C)$ 仅为 $x - ct$ 的函数^[7]。再令 $i \equiv i(B^* c - B^* c)$; $i \equiv B^* c + B^* c$; $E \equiv 2 B^* c^2 - \frac{C_{g2} - C_{g1}}{(C_{g1} - C_{g0})} b c^2$, 由式(25) — (27) 式, 得:

$$\frac{dA}{d} = - \tag{29}$$

$$\frac{dB}{d} = \tag{30}$$

$$\frac{d}{d} = - b A E \tag{31}$$

$$\frac{dE}{d} = A \tag{32}$$

其中 $i = \frac{2lk}{C_{g0} - C_{g1}}$; $i = \frac{i}{C_{g1} - C_{g2}} - \frac{i}{C_{g2} - C_{g0}}$; $b = \frac{2lkb}{C_{g2} - C_{g0}}$; $i = \frac{4lk}{C_{g1} - C_{g0}}$; $b = \frac{k^2 - 4l^2}{k^2 + 4l^2}$ 。

假定 $C_{g0} > 0$, 则有:

$$C_{g1} > C_{g2} > C_{g0} > 0 \tag{33}$$

当 $b > 0$ 时, $i > 0$; $b > 0$; $i > 0$ 。

边界条件取: $x \rightarrow \infty$ 时, $B = B_0, A = c = 0$, 其意义是无穷远处有波动东移。但无穷远处西风未出现分支。相应有 $i = 0$ (由 i 的定义可知)。

由式(29)、(30) 及上述边界条件, 可得:

$$= - A \tag{34}$$

将式(34) 代入式(31), 再令 $\tilde{E} = E - \frac{2}{b}$ 得:

$$\frac{d\tilde{E}}{d} = A \tag{35}$$

$$\frac{d}{d} = - b \quad A \tilde{E} \quad (36)$$

$$\frac{d}{d} \quad A = - \quad (37)$$

作函数 $() = \int_{-\infty}^{\infty} \overline{b} \quad A d \quad (38)$

根据式(35), (36) 得:

$$\frac{d\tilde{E}}{d} = \frac{\overline{b}}{b} \quad (39)$$

$$\frac{d}{d} = - \frac{\overline{b}}{b} \tilde{E} \quad (40)$$

由 $\rightarrow \infty$ 时, $\tilde{E}_0 = 2 \quad B_0^2 - \frac{B^2}{b}$ 的边界条件, 从式(39)、(40) 可解得: $\tilde{E} = \tilde{E}_0 \cos$,
 $= - \frac{bK}{BK} \tilde{E}_0 \sin H$ 再将 U 代入式(25) ($U = i(7_{B7} \quad C^* - 7_{C7} \quad B^*)$), 利用变换 $F = x - K$, 得:

$$\frac{\tilde{S}_H^2}{5x^2} - \frac{1}{C_{g0K}} \frac{\tilde{S}_H^2}{5t^2} = \tilde{r}^2 \sin H \quad (41)$$

其中 $\tilde{r}^2 = \frac{2lk}{C_{g0}} bK \tilde{E}_0$ 。式(41) 即为著名的 Sine-Gordon 方程^[7], 许多物理现象都可以用这一方程来描述。它在一定的条件下, 存在孤立子解。比如利用变换 $F = x - K$, 式(41) 可写成:

$$\frac{d^2 H}{dF^2} = r^2 \sin H \quad (42)$$

这里 $r^2 = AKbK \tilde{E}_0$ 。式(42) 的解为^[7]:

$$H(F) = 4 \arctg[\exp(rF)] \quad (43)$$

式(43) 这种形式的解叫做纽结^[7]。利用式(38) 式, 得 γ_A 的表达形式:

$$\gamma_A = \frac{2r}{BK} \operatorname{sech}[r(x - K)] \quad (44)$$

若将 y 方向分量考虑进去, 再结合考虑基本流 \bar{u} , 即可得到描述纬向平均流的流函数为:

$$\gamma_{纬} = - \bar{u}y - \gamma_A^d \operatorname{sech}[r(x - K)] \sin 2ly \quad (45)$$

其中 $\gamma_A^d = \frac{2r}{BK}$ 为孤子波振幅。由上式可知:

(1) 孤立波的宽度系数 r 与振幅 γ_A^d 成正比, 振幅越大时, 东西方向的波宽度就越小;

(2) 因为 $r = \frac{2lk}{C_{g0}} bK \tilde{E}_0$, 而 $\tilde{E}_0 = 2 \quad B_0^2 - \frac{B^2}{bAK}$ 由前面假定条件知, $AK > 0, bK > 0$,

所以必须有 $2 \quad B_0^2 > \frac{B^2}{bAK}$ 即必须有足够强的扰动东移, 才能使孤立波解存在;

(3) 由于 $\gamma_A^d = \frac{2r}{BK} = 2 \quad B_0 \frac{C_{g1} - K}{C_{g0} - K}$ 对于移速很小的孤立波来说 ($K \approx 0$), C_{g0}

越小, 振幅越大。又因为 $C_{g0} = \bar{u} - \frac{B^*}{4l^2}$, 所以这时要求 $\bar{u} > \frac{B^*}{4l^2}$, 解才存在。

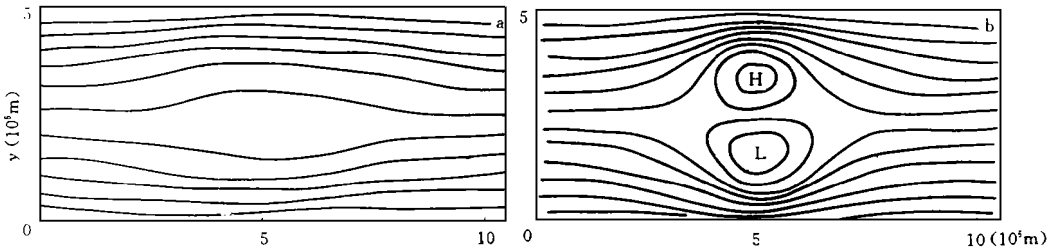


图3 孤立波流函数图

(a. $7B_0 = 0.02$; b. $7B_0 = 0.05$ (其他参数见正文))

同图2, 取参数 $k = 1.57, l = 0.63$, 相速度 C 近似地取谱分量 $7B$ 的线性波速(即 $C = \pi - \frac{B^*}{k}$), 取 $B^* = 0.1, \pi = 0.1, K = 0$ (假定孤立波移速很小)。初值 \hat{u}_{7B_0} 取 0.02 和 0.05 , 分别对应着较弱和较强的天气尺度波动。由式(45), 得基本流场的流线分布如图3。图3a为取 $\hat{u}_{7B_0} = 0.02$ 时的情形, 这时孤立波波幅小, 宽度大, 无明显偶极子形式。图3b是取 $\hat{u}_{7B_0} = 0.05$ 时的情形, 这时波振幅较大, 但宽度小。南低北高的偶极子明显。可以肯定, 这种由扰动向局部基本纬向流提供能量而产生的偶极子, 对大气中的阻塞形势的维持和加强是非常有利的。

5 小结

文中用截谱方法, 讨论了正压大气中波流间的相互作用问题, 得到了波流间能量传递的条件。并提出: 正压不稳定也具有短波截止现象。同时指出: 波长较短的波容易被基本流所吸收。在引入时空缓变量后, 导出了著名的 Sine-Gordon 方程, 并求得了孤立子解。

参考文献

- [1] Andrews D G and McIntyre M E. Planetary wave in horizontal and vertical shear: The generalized Eliassen-Palm relation and the mean zonal acceleration. *J Atmos Sci*, 1976, 33: 2031- 2048.
- [2] Edmon H J, Hoskins B J and McIntyre M E. Eliassen-Palm cross section for the troposphere. *J Atmos Sci*, 1980, 37: 2600- 2616.
- [3] 曾庆存. 中纬度天气系统的演变过程. *气象*, 1983, (11): 33-39.
- [4] 李麦村, 罗哲贤. 6月和10月大气环流突变的非线性机制. *中国科学, B辑*, 1983, (2): 187-192.
- [5] 吴国雄等. 时变涡动输送与阻高形成. *气象学报*, 1994, 52(3): 308-320.
- [6] 陶祖钰等. 1991年梅雨期阻塞高压的维持和瞬变扰动. *气象学报*, 1994, 52(2): 231-234.
- [7] 谷内俊弥(日). 非线性波动. 原子能出版社, 1981. 167-1987.

ON INTERACTION BETWEEN WAVE AND FLOW IN THE BAROTROPIC ATMOSPHERE AND SINE-GORDON EQUATION

Tao Jianjun

(Department of Geography, Xiangtan teachers college, Xiangtan, 411201)

Abstract

Starting from the barotropic model and using the method of the truncate spectrum, this paper discusses interaction between wave and basic flow and identifies conditions of energy-transforming between wave and flow. It gets the Sine-Gordon equation and its solitary wave solution.

Key words: Interaction between wave and flow, Sine-Gordon equation, Dipole soliton wave solution.

欢迎购买1996年度《气象学报》合订本

《气象学报》编辑部为便于气象系统及相关学科的有关单位存档、科技工作者参阅,装订了少量的《气象学报》1996年合订本(6期),单价88元。因数量有限,欲购买者请速与学报编辑部联系,本部负责邮发。

联系电话: 010—62172277—2942

邮局汇款: 北京市海淀区白石桥路46号

中国气象学会《气象学报》编辑部

邮政编码: 100081

银行汇款: 收款单位: 中国气象学会广才培训中心

开户银行: 中国建设银行北京海淀支行白石桥分理处

帐 号: 26181431

联系人: 王祥国